

EVALUACION DE LA CONTAMINACION ATMOSFERICA EN LA ZONA METROPOLITANA DE LIMA-CALLAO/ABRIL-2004

INDICE

RESUMEN			
I.	INTRODUCCIÓN	3	
II.	CUENCA ATMOSFERICA DE LIMA	5	
III.	METODOLOGÍA	5	
IV.	RESULTADOS 4.1 Distribución espacial de contaminantes sólidos sedimentables durante el mes de Abril del 2004	8	
	en la Zona Metropolitana de Lima- Callao. 4.2 Análisis del comportamiento temporal de los contaminantes gaseosos durante el mes de Abril	8	
	del 2004 en el distrito de Jesús María. 4.3 Condiciones Meteorológicas durante el mes de Abril 2004	10 13	
V. CC	NCLUSIONES	19	
	INDICE DE FIGURAS		
Fig. 1 Estaciones meteorológicas y de contaminantes sólidos sedimentables en la Zona Metropolitana de Lima-Callao			
Fig. 2	- Totales mensuales de contaminantes sólidos sedimentables rados durante el mes de Abril 2004 en Lima-Callao	8	
Fig 3	- Distribución espacial de la concentración de sólidos sedimentables na-Callao durante el mes de Abril del 2004	9	
	a – Variación temporal de la concentración de Ozono Troposférico te el mes de Abril del 2004	10	
	b – Variación maxima cada 8 horas de la concentración de Ozono Troposférico de Abril del 2004	10	
•	c – Variación media horaria de la concentración de Ozono Troposférico de Abril del 2004	11	
_	d Distribución de percentiles Ozono Troposférico (abril)	11	
	e Distribución de percentiles Ozono Troposférico (marzo)	12	
	- Distribución log-normal de observaciones de Ozono Troposférico	12	
	a Variación horaria de la temperatura y humedad relativa		
	te el mes de Abril del 2004 en Lima-Callao	14	
	b Variación horaria de la temperatura y humedad relativa te el mes de Abril del 2004 en Jesús María y El Cercado	15	
	- Rosas de viento Diurnas	17	
_	- Rosas de viento Nocturnas	18	
	-Radiosondaia mensual promedio mes de Ahril	20	



RESUMEN

La evaluación de los resultados del monitoreo de los Contaminantes Sólidos Sedimentables (CSS) en la Zona Metropolitana de Lima-Callao correspondientes al mes de abril 2004, refieren la presencia de tres centros de alta contaminación o zonas críticas, ubicados en los conos norte (30,6 t/km²/mes), este (17,5t/km²/mes) y sur (15 a 25 t/km²/mes) de la capital. Condiciones meteorológicas de cielo nublado a nublado parcial en horas de la mañana y despejado en el resto del día y la persistente presencia del fenómeno de la inversión térmica dificultaron los procesos de dispersión en horas de la mañana, mejorando después del mediodía.

Con respecto al contaminante Ozono troposférico, sus valores se encuentran por debajo del ECA Nacional de 120 ug/m³ para cada 8 horas (60,1 ppb) aún cuando se obtuvo un máximo valor de 11,3 ppb que represento el 18,8% del ECA.

El análisis de los registros meteorológicos de temperaturas y humedades relativas muestran que éstas fluctuaron desde 15,5°C (Callao y La Molina) a 28,4°C (La Molina) y desde 38% (El Cercado) a 100% (Callao y La Molina).

Con respecto a los vientos de superficie, durante el día predominaron intensidades débiles (<2m/s) en la mayor parte de las estaciones, hacia el norte (Comas) como al sur (Surco) de la ciudad, las direcciones fueron predominantemente del SW (38%) y W-S (30%), respectivamente. Intensidades fuertes (>6m/s) se presentaron en La Molina con dirección predominante del W (61%). En horas de la noche, se reportaron vientos de intensidad débil (<2m/s) hacia el centro (Jesús María) con direcciones SSW (25%) y este (El Cercado y la Molina) de la ciudad con direcciones W (25%) y ESE (18%), mientras que intensidades moderadas se presentaron hacia el litoral costero (Callao) con direcciones S (59%) y SSE (27%).



1. Introducción

Durante el mes de Abril, el SENAMHI a través de la Dirección General de Investigación y Asuntos Ambientales, ha realizado las siguientes actividades: 1) Como coordinador del Grupo de Trabajo para la implementación de la red de monitoreo de la calidad del aire de la Zona Metropolitana de Lima-Callao por encargo del Comité de Gestión de la Iniciativa de Aire Limpio para Lima-Callao, se ha realizado el trabajo de campo de georreferenciación de los lugares de emplazamiento de las estaciones proyectadas 2) Ha elaborado el perfil de Proyecto de inversión "Implementación de un servicio de pronóstico de la calidad del aire en Lima-Callao" 3) Ha elaborado el perfil de proyecto de "Vigilancia Hidroclimática Ambiental en la Ciudadela de Machu Picchu".

Relacionado a los asuntos de calidad del aire, el presente Boletin muestra los resultados del monitoreo de los Contaminantes Sólidos Sedimentables y de los Contaminantes Gaseosos Monóxido de Carbono y Ozono Troposférico para el mes de abril 2004. A continuación se describen algunas de sus características más resaltantes.

El patrón de crecimiento acelerado de la población, la industrialización, el crecimiento con deficientes normas de control del parque automotor, los malos hábitos de la población entre otros, son causas principales de la contaminación.

La exposición integral del ser humano al material particulado es una combinación de las concentraciones interiores y exteriores; aunque bien es cierto que la gente emplea la mayor parte de su tiempo en espacios interiores, se encuentran expuestos cuando dejan las instalaciones o cuando las partículas, especialmente las de rango comprendido entre 01,-1,0*u* ingresan. Estas últimas al interior (hogares u oficinas), no están reguladas por políticas públicas como los Estándares Nacionales existentes de Calidad del Aire y demás normas y se generan a expensas de los aportes de los residentes de las instalaciones que contribuyen con las actividades de cocina, el humo del cigarro, el povo de la casa y los bioaerosoles.

De acuerdo a la OPS (Organización Panamericana de la Salud), diversos estudios han demostrado que existe una asociación entre ciertos efectos en la salud y algunos contaminantes del aire en exteriores, habiéndose establecido que en general la exposición a contaminantes atmosféricos se asocia de manera significativa con efectos agudos y crónicos o acumulativos en la salud por exposición a largo plazo. Las mediciones realizadas para conocer las concentraciones ambientales de estos contaminantes deben ser hechas en base a redes de muestreo (o monitoreo) que representen la exposición de importantes núcleos humanos urbanos, principalmente.

De forma específica, los efectos del material particulado en la salud, dependen de su tamaño y composición química, bioquímica y biológica, a lo que se suma la condición biológica y metabólica de la persona (edad, estado nutricional, estado de la salud, características genéticas del individuo, entre otras) que pueden exacerbar los efectos. Partículas mayores a 10 um se quedan retenidas en la cavidad extratorácica del tracto respiratorio, las partículas comprendidas entre 5 a



10 um son retenidas en los bronquios; mientras que las partículas menores a 2,5 um llegan hasta los alveolos pulmonares.

Con respecto a su composición, el material particulado está constituído por material tanto inerte como por metales pesados; éstos últimos pueden ser Fierro (Fe), Plomo (Pb), Cadmio (Cd), Cromo (Cr), Zinc (Zn), Calcio (Ca), entre otros. Los efectos dañinos a su exposición residen principalmente en los sistemas respiratorios, circulatorio y nervioso central, siendo los niños menores de 5 años, los enfermos y las personas embarazadas y ancianos la población más sensible.

Existen serie de recomendaciones para realizar monitoreos una concentraciones exteriores de partículas; los más importantes son la accesibilidad y la representatividad de la ubicación de los puntos de muestreo para la comunidad. Los objetivos específicos de una red de muestreo (o monitoreo) deben quedar bien establecidos; así, puede estar destinada a la verificación del cumplimiento de los Estándares de Calidad Ambiental, al dictado de alertas de rápida reacción que impongan temporales reducciones en las emisiones, a investigaciones de procesos atmosféricos (lo cual requiere monitores simultáneos de partículas y gases), investigaciones en epidemiología para observar la exposición del ser humano y la detección de algún componente tóxico en la masa de las partículas, determinación de efectos ecológicos (por precipitación seca y húmeda sobre diferentes superficies), determinación de efectos radiativos (absorción y dispersión de luz por las partículas y alteración de la microfísica de las nubes).

En lo referente a contaminantes gaseosos, el ozono muestra un ciclo diurno peculiar en el aire no contaminado sobre la superficie terrestre con máxima concentración en el día y mínimas concentración en la noche.

En la atmósfera contaminada existe una concentración relativamente constante de ozono en la atmósfera libre sobre la capa de mezcla. Cuando hay una fuerte mezcla vertical (durante el día) el ozono es continuamente acarreado a la superficie y la concentración en el aire cercano a la superficie se acerca a la existente en la atmo´sfera libre. Cuando la mezcla vertical disminuye en intensidad (generalmente en la noche) entonces la destrucción de ozono en la superficie excede el trasnporte hacia la superficie y la concentración de ozono en la misma disminuye gradualmente.

En la atmósfera libre la relación de mezcla del ozono, normalmente tiene un mínimo en invierno y un máximo en la primavera y verano. La inyección de aire estratosférico rico en ozono en la tropósfera ocurre predomoinantemente en latitudes media y alta y la concentración de ozono en el aire cercano a la superficie es disminuida en latitudes ecuatoriales en ambos hemisferios comparada con la de las latitudes media y alta.

La evidencia existente sugiere que la producción y destrucción de ozono dentro de la tropósfera domina el balance de ozono troposférico.

En el hemisferio Sur los procesos en la fase gaseosa, son comparables a la inyección estratosférica y remoción superficial; en el hemisferio norte, los proceso en fase gaseosa dominan el balance. Datos de estudios realizados por Galbally y



Roy, 1980; Fishman et al. 1979; Danielsen y Mohnen 1977 han sido combinados para obtener un balance de ozono en la Tropósfera:

Balance de Ozono en la Troposfera. Unidades de Tg por Año 1/

Efecto	Hemisferio Sur	Hemisferip Norte
- Inyección en la estratosfera	500	500
- Destrucción en la superficie	450	650
- Destrucción en la fase gaseosa	700	1 300
Producción en fase gaseosa en la tropósfera (estimado por balance)	650	1 450

^{1/} 1 Tg = $1x10^{12}$ gramos

2. Cuenca atmosférica Lima-Callao

La cuenca atmosférica es una región geográfica, delimitada por los obstáculos topográficos de origen natural (líneas costeras, formaciones montañosas etc.), divisiones políticas y uso de la tierra, de tal manera que dentro de ésta se modifica la circulación general de la atmósfera sobre la superficie (capa límite de la atmósfera), dando lugar a la formación de un campo de vientos locales, diferentes del flujo de la atmósfera libre. Este campo de vientos es el responsable de los procesos de transporte y dispersión de los contaminantes del aire dentro de la cuenca.

Dentro de la implementación del Plan Nacional "A Limpiar el Aire", el SENAMHI a través de su Dirección General de Investigación y Asuntos Ambientales (DGIA), en cumplimiento a lo establecido en el D.S. 074-2001-PCM sobre el Reglamento de Estándares Nacionales de Calidad Ambiental del Aire, lideró y concluyó los trabajos de delimitación de la Cuenca Atmosférica para cada una de las 13 Zonas de Atención Prioritaria a nivel nacional reconocidas por el Decreto dentro del marco de elaboración del Diagnóstico de Linea Base, el cual contempla el monitoreo de la calidad del aire, inventario de emisiones y Estudios Epidemiológicos. Para el caso de la Zona Metropolitana de Lima y Callao, ver **Figura 1**.

3. Metodología

A) Contaminantes Sólidos Sedimentables

Para la presente evaluación se ha utilizado información de la red de monitoreo de contaminantes sólidos sedimentables (CSS) compuesta inicialmente por 27 micro estaciones distribuidas en la Zona Metropolitana de Lima-Callao (figura 1), para lo cual se ha desarrollado el método de muestreo pasivo que se describe a continuación:

• Fase preliminar de gabinete: Se codifica y prepara todo el material que se lleva a campo para reemplazar las placas receptoras o de acumulación.



- Fase de campo: Mensualmente en cada una de las estaciones se reemplazan las placas receptoras impregnadas de contaminantes y se llevan al laboratorio para las evaluaciones respectivas.
- Fase de laboratorio: Por el método gravimétrico se determinan las concentraciones correspondientes a cada una de las estaciones de observación.
- Fase de gabinete: Involucra el procesamiento, análisis e interpretación de la información, salida de reportes preliminares, cuadros, mapas, gráficos y la elaboración del Boletín Mensual.

B) Contaminantes Gaseosos

La evaluación mensual de los gases contaminantes del aire (CO, SO2 y O3) en la Estación de Calidad de Aire ubicada en la Sede Central (**figura 1**) se realiza de acuerdo a la siguiente metodología :

- Fase de campo: Calibración según método aprobado por EPA, Operación contínua de analizadores automáticos de Ozono troposférico modelo API 400A, Monóxido de Carbono API 300, Dióxido de Azufre API 100A y estación meteorológica automática Davis por el período de observación establecido. Descarga de la información in situ (downloading) mediante cable RS-232 y software API COM para analizadores y software Energy. para estación meteorológica automática. Cambio de filtros cada 15 días en promedio. Inspección de fugas en la línea de ingreso de muestra.
- Fase de gabinete: Involucra el procesamiento, análisis e interpretación de la información, salida de reportes preliminares, cuadros, mapas, gráficos y la elaboración del Boletín Mensual.



Fig. 1 - Red de estaciones meteorológicas y de contaminantes sólidos sedimentables en la Zona Metropolitana de Lima-Callao



4 Resultados del Monitoreo Ambiental

4.1 Distribución espacial de contaminantes sólidos sedimentables durante el mes de Abril del 2004 en la Zona Metropolitana de Lima- Callao.

En la **figura 1** se presenta la red de contaminantes sólidos sedimentables (CSS). Durante abril, se recopiló información de campo de 20 estaciones de monitoreo, 13 de las cuales, es decir, el 65% sobrepasaron el límite referencial permisible recomendado por la OMS (5 t/km²/mes).

En la figura 3 se muestra el análisis espacial de la concentración de CSS que se presenta en la figura 2. Se identifican tres centros de altos niveles de concentración de contaminantes sólidos sedimentables (CSS), que se han configurado como resultado de la generación in situ así como de los procesos de transporte por el viento desde otras zonas de la capital; dichos centros se encuentran distribuidos de la siguiente manera: Hacia el cono norte (Microcuenca atmosférica del Chillón) se observa el primero de ellos extendiéndose a lo largo de los distritos de Carabayllo, Comas, Los Olivos e Independencia, con núcleo en éste último con un valor de 30,6 t/km²/mes, explicado por la gran confluencia vehicular e importante actividad comercial formal e informal a lo largo de la Av. Túpac Amaru y que se ve agravado por el mal estado de las pistas y veredas así como por influencia del campo de vientos que contribuye a su acumulación (figuras 7 y 8). El segundo centro importante de contaminación abarca el cono centro-este (Microcuencas atmosféricas del Rímac y San Juan de Lurigancho) y comprende los distritos de San Juan de Lurigancho, Lurigancho, Chaclacayo, Ate-Vitarte, Santa Anita, el Agustino y el Cercado de Lima (zona este), con núcleo en el distrito de El Agustino, con un valor de 17,5 t/km²/mes, también explicado por semejantes condiciones de informalidad de la actividad industrial, comercial y desorden vehicular. Mientras que el tercer centro ubicado en el cono sur, se situó cerca al límite de los distritos de Villa María del Triunfo y Villa el Salvador con valores comprendidos entre los 15 a 25 t/km²/mes, por similares causas locales y la influencia de los vientos locales ya descrita.

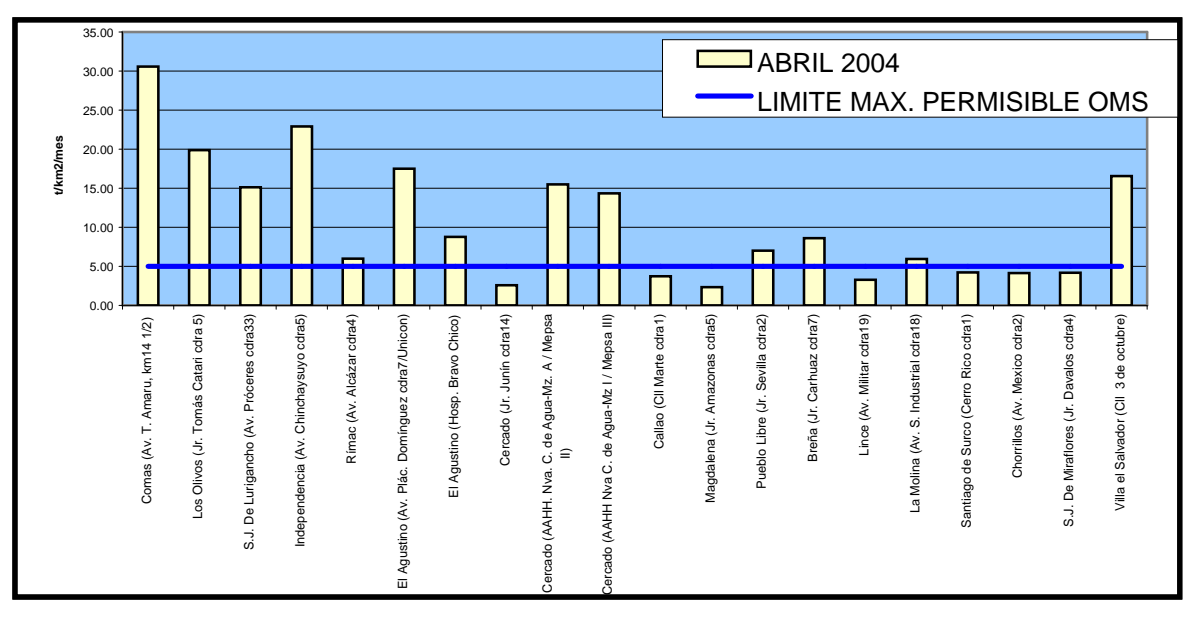


Fig. 2 - Totales mensuales de contaminantes sólidos sedimentables registrados durante el mes de Abril 2004 en Lima-Callao

El sector que comprende la estrecha franja costera y parte de aquellos distritos residenciales como San Isidro, San Borja, Miraflores, parte de Santiago de Surco y Barranco, debido a su alto índice de área verde por habitante, la presencia de los vientos que circulan paralelos a la costa, y las brisas marinas que fluyen hacia el este, limitan la generación de material particulado y favorecen la dispersión por lo que no exceden el valor referencial establecido por la OMS.

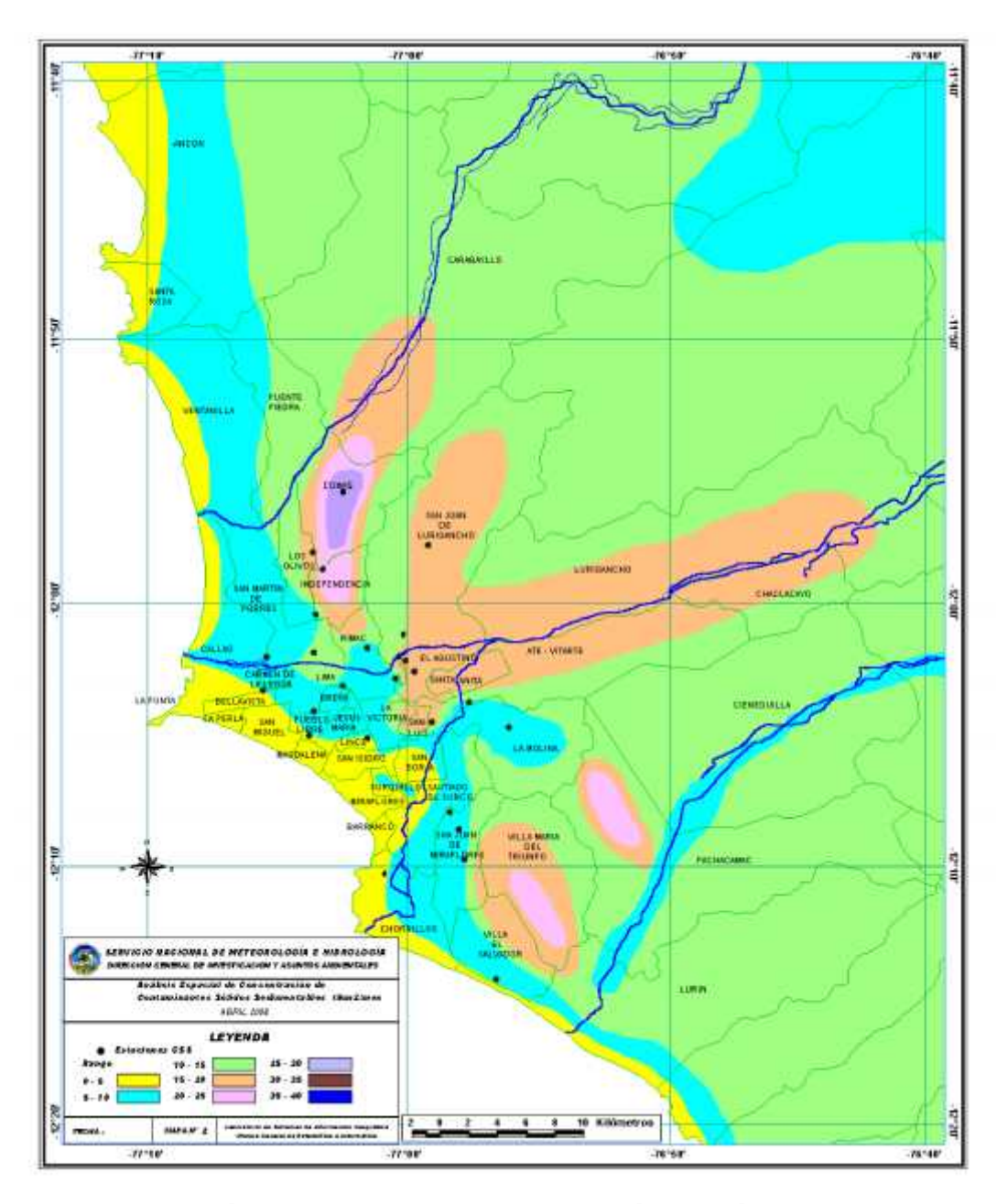


Fig.3 - Distribución espacial de la concentración de sólidos sedimentables en Lima-Callao durante el mes de Abril del 2004



4.2 Análisis del comportamiento temporal de los contaminantes gaseosos durante el mes de Abril del 2004 en el distrito de Jesús María.

A. Ozono Troposférico

La información registrada por el analizador modelo API 400A en la estación de calidad de aire de la Sede del SENAMHI según la **figura 4a**, muestra para el presente mes un registro máximo horario de 20.8 ppb ocurrido el día 02 a las 12:00 pm, el cual guarda relación directa con la tendencia del índice UV para el presente mes, donde alcanzó un máximo de 12 instantaneo y 8.2 en promedio.

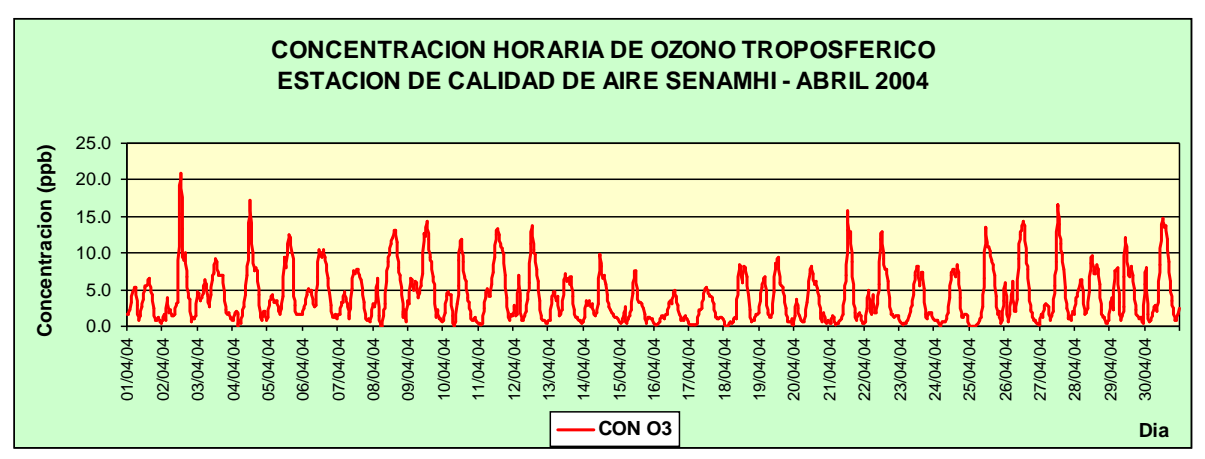


Fig. 4a – Variación temporal de la concentración de Ozono Troposférico durante el mes de Abril del 2004

Asimismo el promedio de las 8 horas alcanzó un valor máximo de 11,3 ppb el día 02, representando un 18,8% del ECA correspondiente, establecido por el D.S. 074-PCM-2001 de 60,1 ppb (120 ug/m³) **Figura 4b**

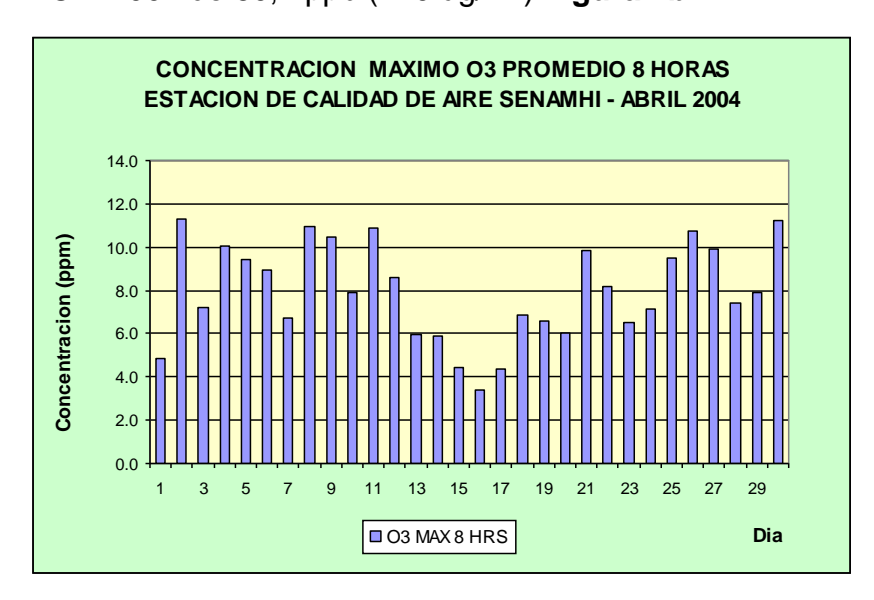


Fig. 4b Variación máxima cada 8 horas de la concentración de Ozono Troposférico - mes de Abril del 2004



En una comparación de la variación media horaria (**figura 4c**) con anteriores períodos reportados, se observa la repetición de episodios nocturnos de ozono troposférico en horas de la mañana (entre 3:00 a 6:00 a.m.). El valor máximo horario alcanzado de 20.8 ppb es menor al observado en Marzo (49.6 ppb).



Fig. 4c – Variación media horaria de la concentración de Ozono Troposférico - mes de Abril del 2004

Distribución de Percentiles.

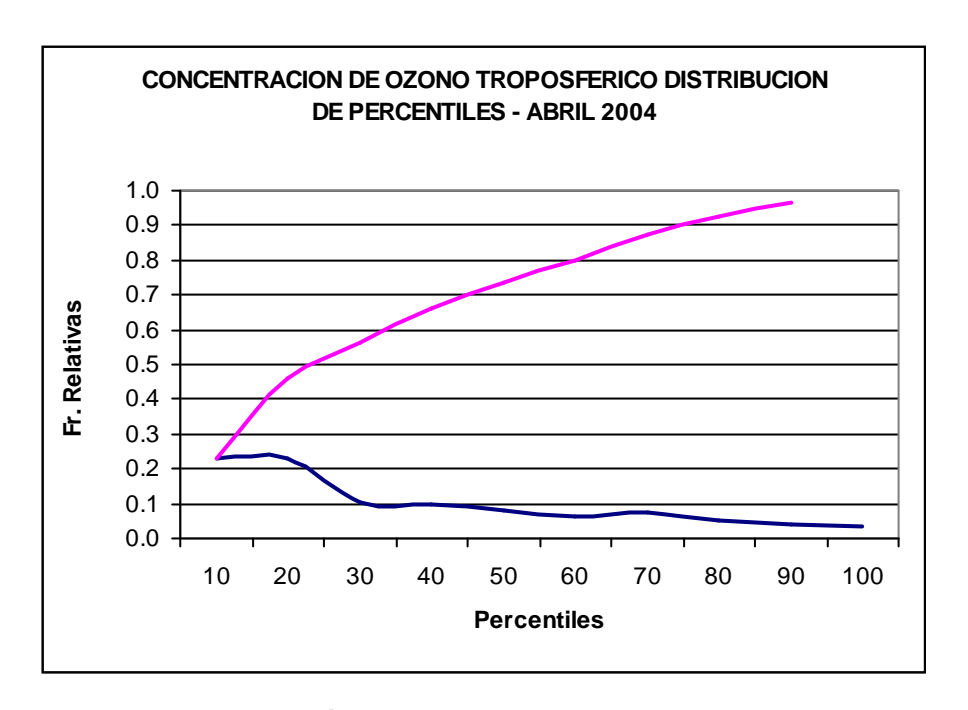
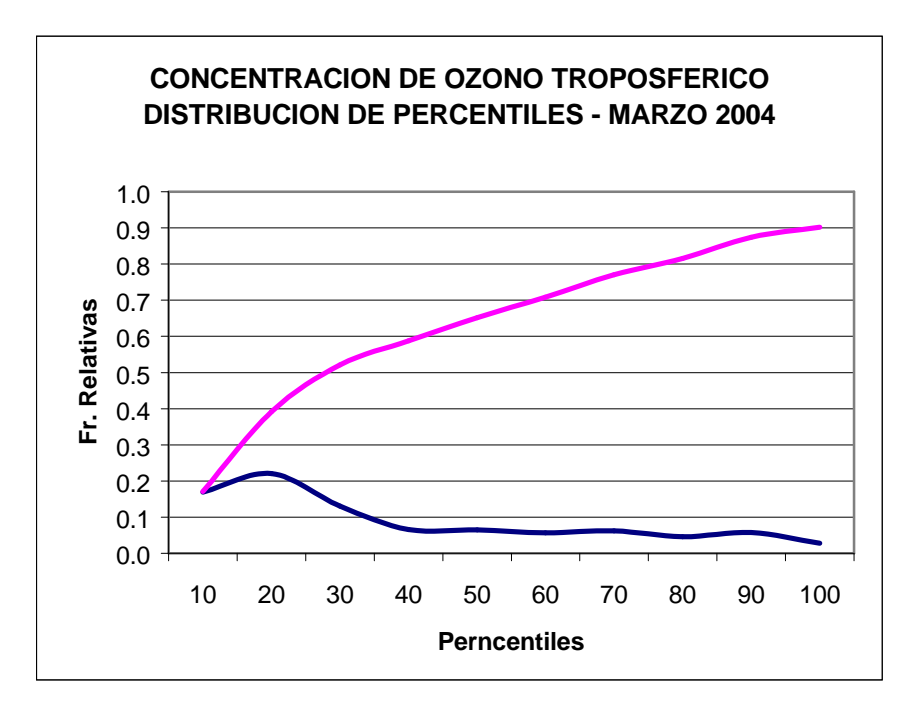


Fig. 4d y 4e Distribución de Percentiles para el Ozono Troposferico





En la distribución de percentiles (**Fig 4d y 4e**) del mes de abril para el caso del O₃ presenta una desviación estándar de 4.29; mayor que el mes de abril (3,0 de desviación estándar). Par este mes la moda es de 1,1 y media es de 4,5; por lo tanto el coeficiente de variación para el mes de marzo es de 0,964. Esto explica que aproximadamente el 60% de los datos se ubican por debajo del percentil 40.

Distribución de Observaciones

La distribución de las observaciones del Ozono Troposferico para el mes de Abri muestra un comportamiento similar a una distribución log-normal tal como se observa en la figura 4f, en donde la mayor acumulación de datos se ubica en el rango inferior a los 10 ppb. Se obtuvieron los siguientes percentiles 99%, 14,63 ppb; 98%, 13,22; 95%, 12,15 y 90%,10,00.

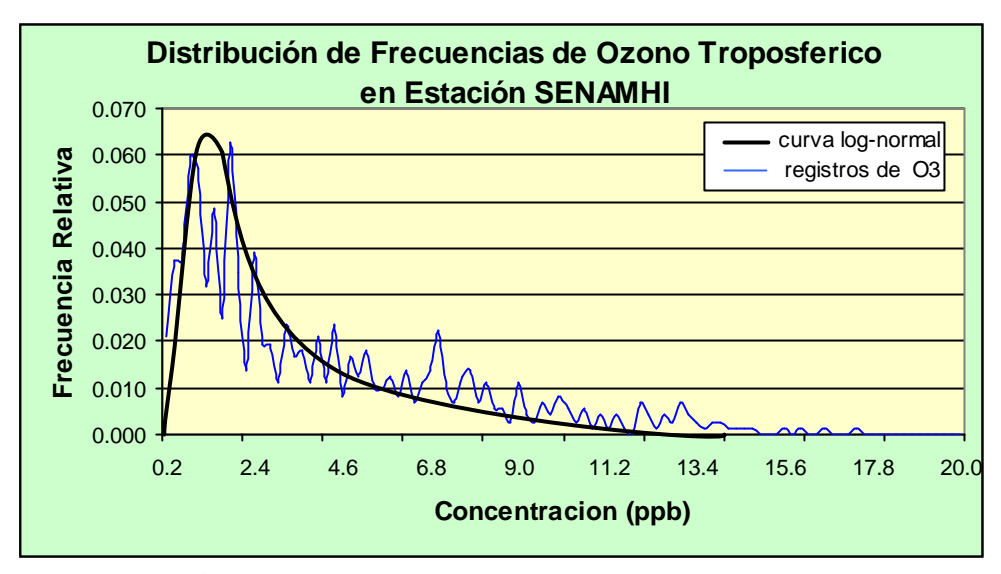


Fig 4f Distribución log-normal de observaciones de Ozono Troposferico



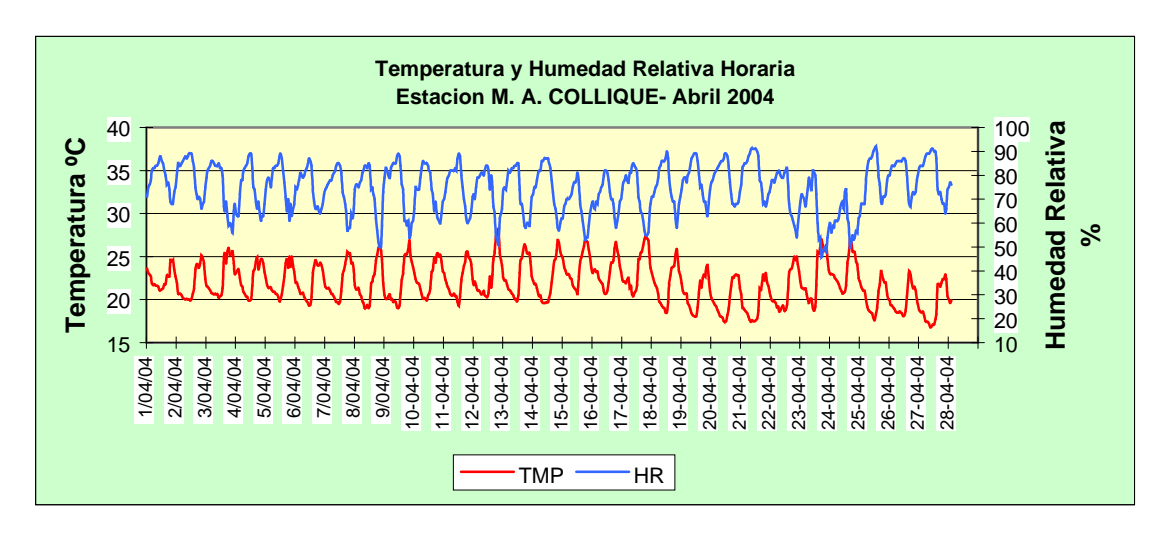
4.3 Condiciones meteorológicas durante el mes de Abril del 2004

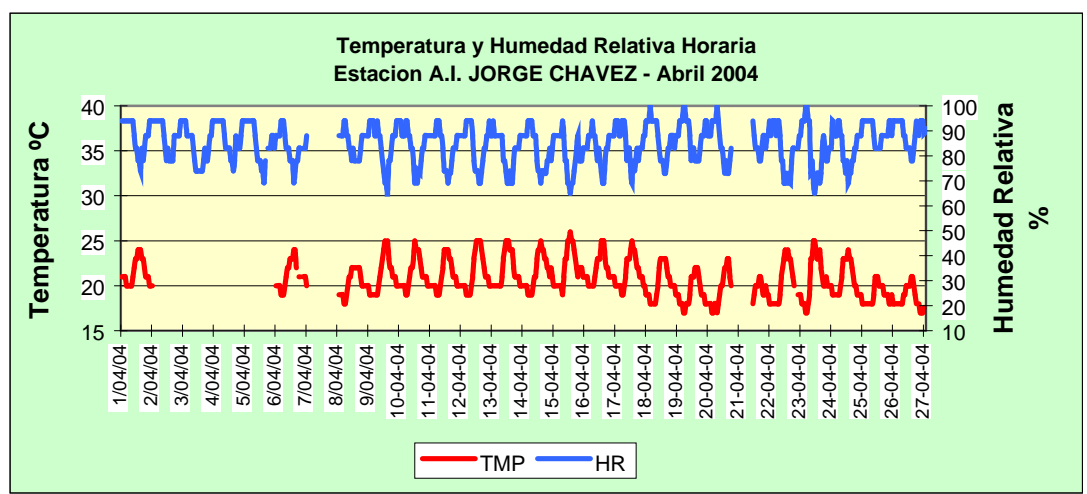
Para el mes de abril, el análisis de las condiciones meteorológicas horarias y diarias para la Zona Metropolitana de Lima y Callao se ha basado en la información de 6 estaciones meteorológicas ordenadas de norte a sur que son las siguientes: Estación meteorológica automática Collique (Comas), estación sinóptica y radiosondaje del Aeropuerto Internacional Jorge Chávez (Callao), estación meteorológica automática Jesús María (S. C. SENAMHI), estación meteorológica automática El Cercado (AA.HH. Nueva Caja de Agua-El Cercado), estación meteorológica automática Lima Este (La Molina) y estación meteorológica automática Las Palmas (Santiago de Surco). Estas estaciones conforman la red meteorológica presentada en la figura 1.

A. Análisis de Temperatura y Humedad Relativa

- El análisis puntual de la variación temporal diaria de la temperatura (°C) y humedad relativa (%) extremas refleja lo siguiente: La temperatura máxima fluctuó entre los valores de 19,3°C (Jesús María) a 28,3°C (La Molina), mientras que la mínima osciló entre 15,5°C (Callao y La Molina) y 22,1°C (Lima Este); en cuanto a las humedades relativas, la máxima fluctuó entre 54% (El Cercado) a 100% (Callao y La Molina) y la mínima osciló entre 38% en El Cercado a 90% en La Molina. Las condiciones descritas refieren el paulatino descenso de las temperaturas recien a mediados de la estación otoñal.
- Con respecto al análisis horario de la información, los valores mínimos de la temperatura del aire se registraron de manera predominante a las 6:00 am mientras que las máximas se presentaron alrededor de las 13:00 hrs. Con respecto a las humedades relativas, la máxima se registró en forma muy variable pero predominantemente en los rangos de 4:00 a 6:00 am; similar comportamiento se presentó en las mínimas con registros entre las 12:00 y 15:00 pm. Ver figura 5a y 5b.







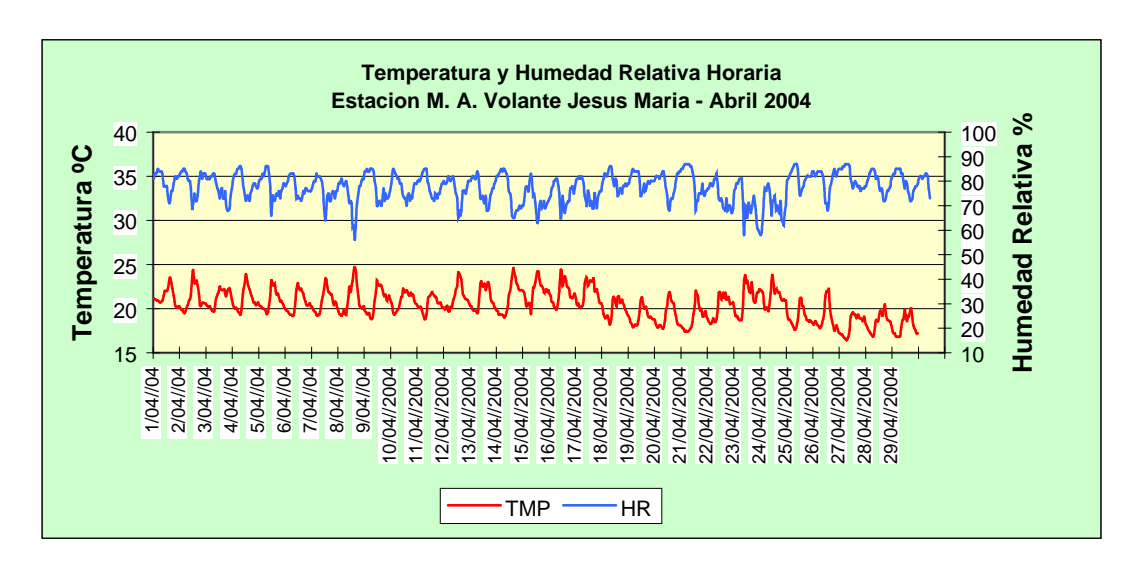
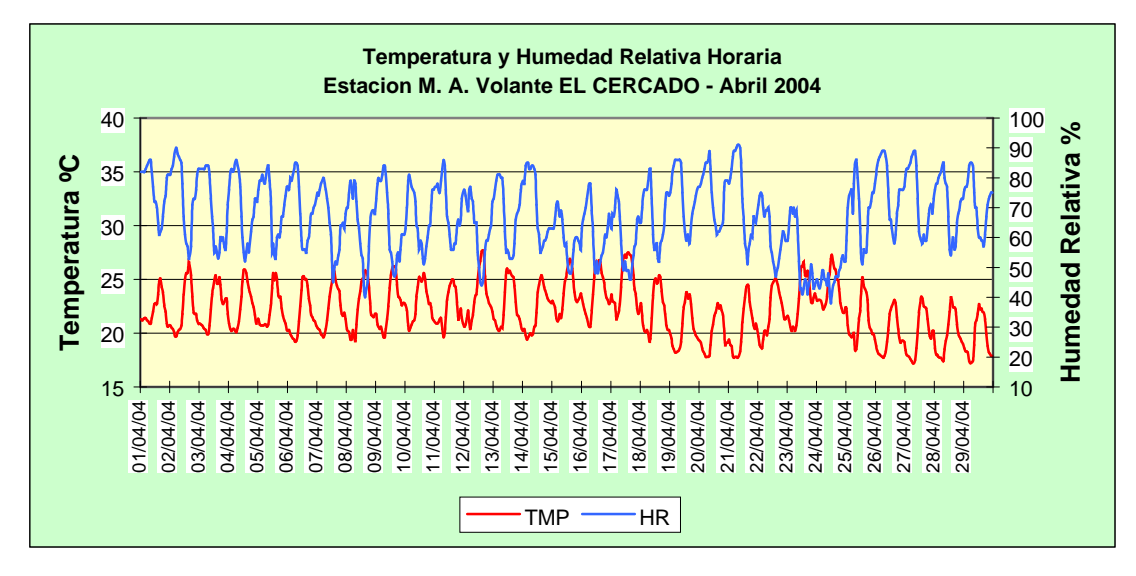
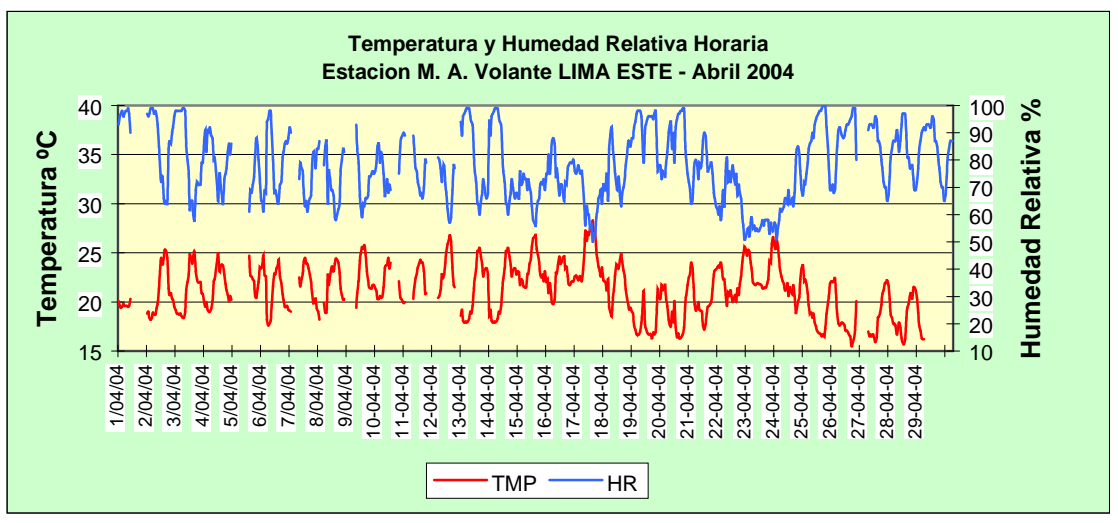


Fig. 5 a.- Variación horaria de la temperatura y humedad relativa durante el mes de Abril del 2004 en Lima-Callao







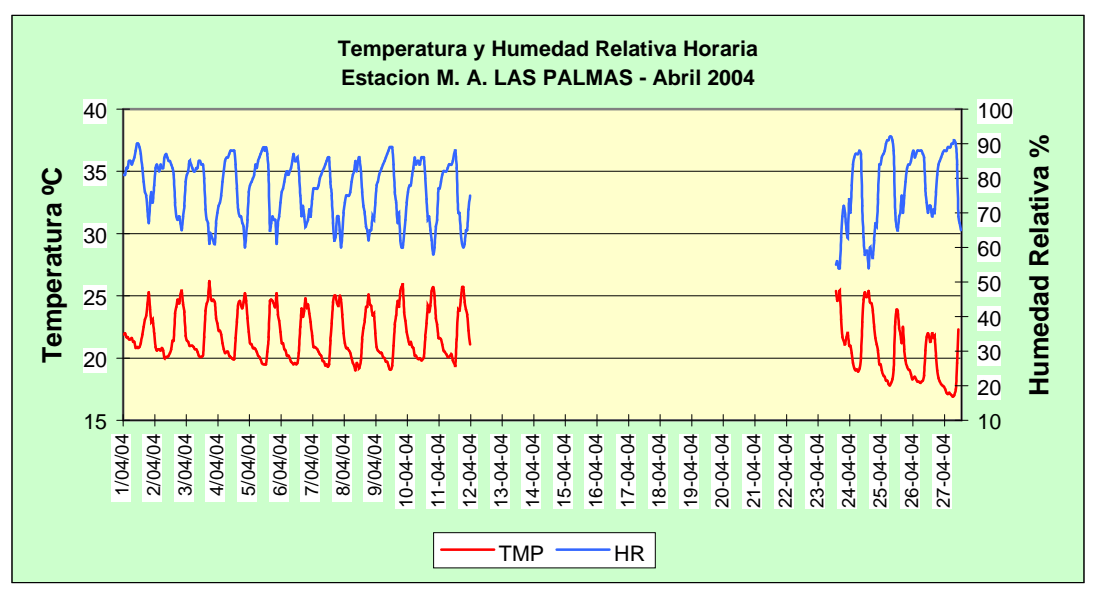


Fig. 5 b.- Variación horaria de la temperatura y humedad relativa durante el mes de Abril del 2004 en Lima-Callao



B. Análisis del viento superficial en la Zona Metropolitana de Lima-Callao durante el mes de Abril del 2004.

El análisis del viento superficial (velocidad, dirección y frecuencia) correspondiente al mes de abril presentado en las **figuras 6 y 7** para las horas comprendidas entre el día (07:00 - 18:00) y la noche (19:00 - 06:00) es el siguiente:

- Durante el día (7:00 a 18:00 horas), en la mayor parte de las estaciones analizadas, se registraron vientos de intensidad débil (<2,2 m/s): Hacia el norte de la ciudad (Collique) presentó direcciones SW (38%) y SSW (18%); hacia el centro y este (Jesús María y El Cercado), predominaron direcciones del W (53%) y WSW (34%) y del SW (59%) y WSW (34%); mientras que hacia el sur (Las Palmas), se reportaron vientos con direcciones W y S (30%). Intensidades moderadas (3-4m/s) se presentaron en el Callao con dirección predominante del S y SSW (40 y 17%) y registros de vientos de fuerte intensidad (> 6m/s) se presentaron hacia el este de la ciudad (La Molina) con dirección predominante del W y WSW con frecuencias de 61 y 24%, respectivamente.
- Durante la noche (19:00 a 6:00 horas), hacia el centro y este de la ciudad se presentaron vientos de intensidad débil (<2m/s) con direcciones SSW (25%) y S (20%) en Jesús María, SW (70%) y SSW (6%) en El Cercado y W (25%) y ESE (18%) en Lima Este. Intensidades débiles a moderadas se presentaron hacia el norte y sur de la ciudad (Collique y Las Palmas) con direcciones provenientes del SW (49%) y WSW (31%) y del SSE (42%) y S (22%). Mientras que intensidades moderadas se reportaron hacia el litoral costero (Jorge Chávez) con direcciones S (59%) y SSE (27%).</p>

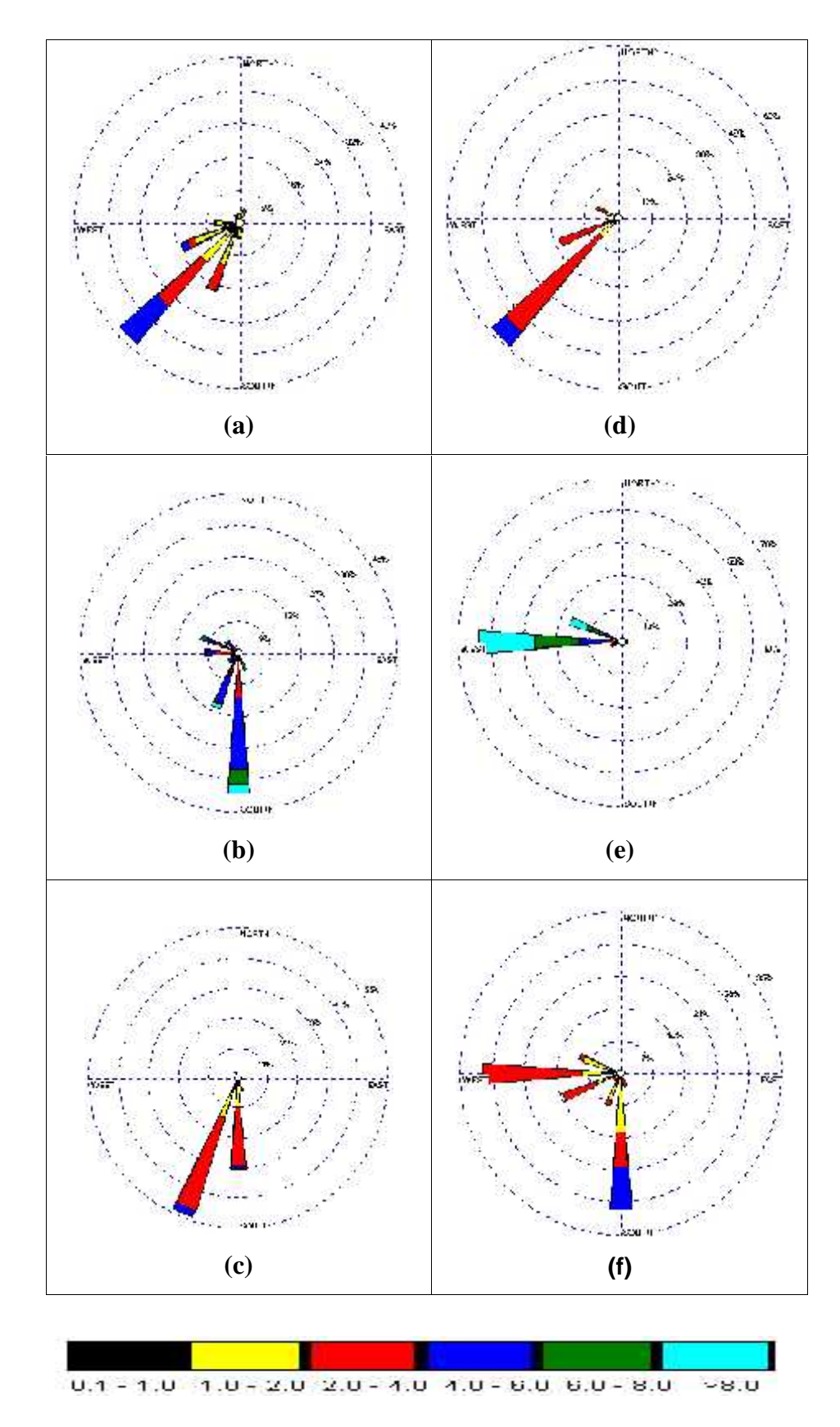


Fig. 6 – Rosas de viento (m/s) diurnas de las estaciones de (a) Collique, (b) Jorge Chávez, (c) Jesús María (d) El Cercado, (e) Lima Este y (f) Las Palmas

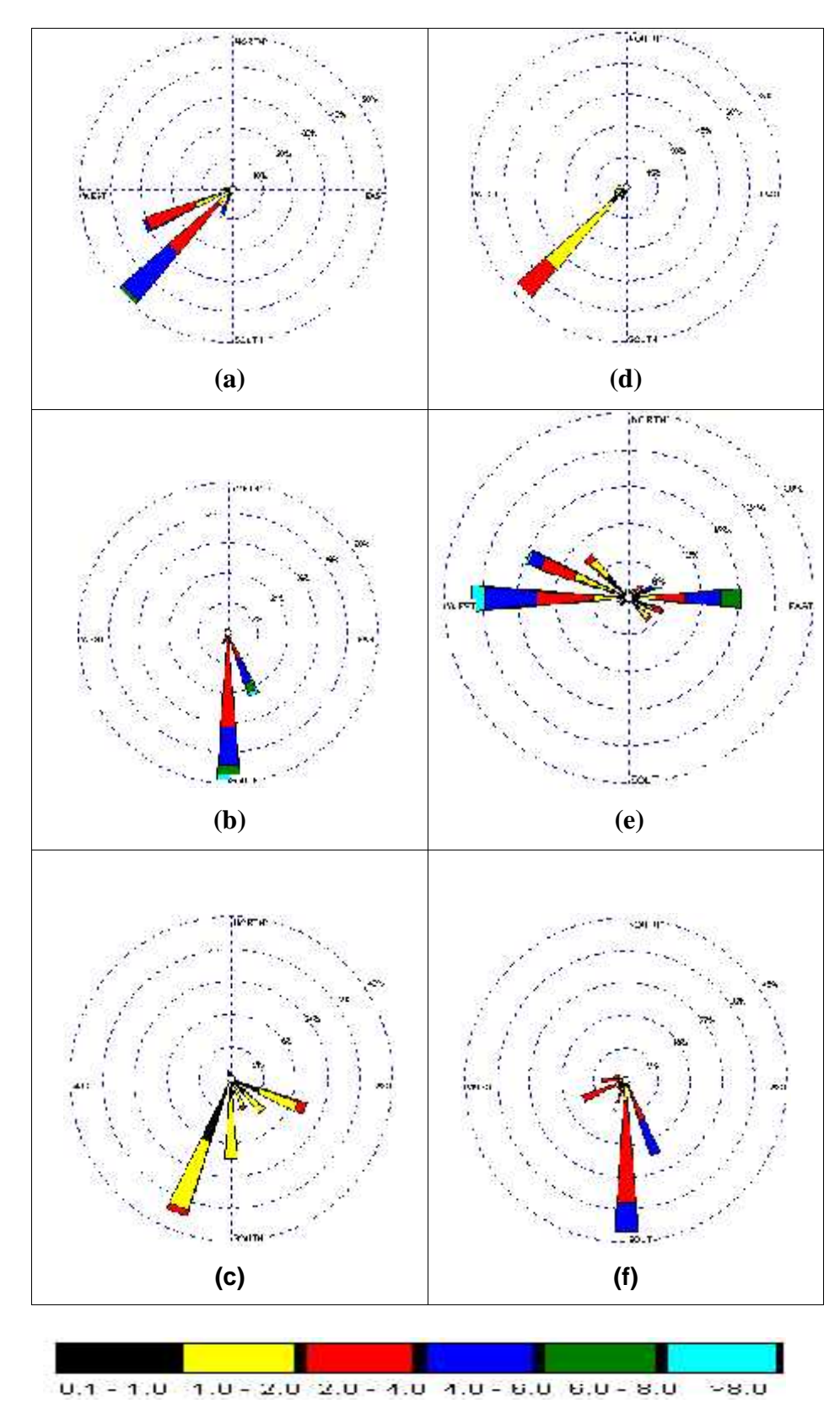


Fig.7 – Rosas de viento (m/s) nocturnas de las estaciones de (a) Collique, (b) Jorge Chávez, (c) Jesús Maríae (d) El Cercado, (e) LimaEste y (f) Las Palmas



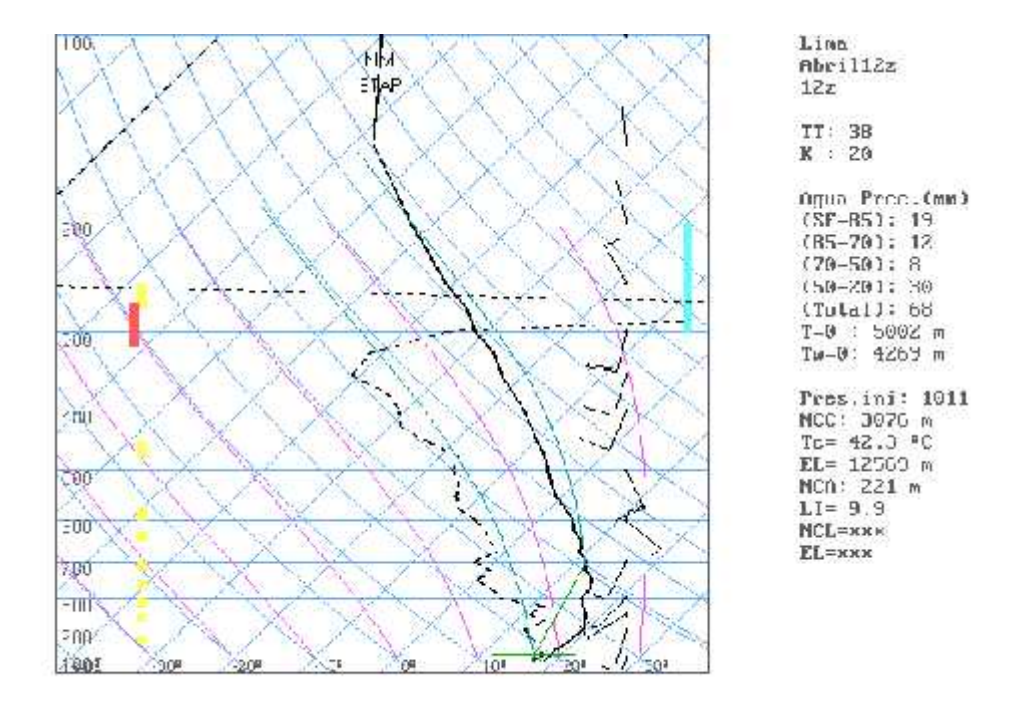


Fig. 8. - Radiosondaje mensual promedio durante el mes de Abril del 2004 (Aeropuerto Internacional Jorge Chávez)

En la **figura 8** se muestra el sondaje promedio para el mes de abril. Del análisis de la información se encontró que la base media de la inversión estuvo en 296m y el tope en 770m. Hubieron 8 días con la base en superficie y con diferente intensidad y altitud durante el resto de los días. Los vientos desde superficie hasta 300 hPa oscilaron entre SW a SE con intensidades de 5 a 10m/s. En los niveles superiores los vientos fueron de NW.

5. Conclusiones

Para el mes de abril, el análisis de la variación espacial de los Contaminantes Sólidos Sedimentables (CSS) en la Zona Metropolitana de Lima – Callao refiere la configuración de tres centros de importante concentración de sólidos sedimentables: El primero de ellos, está ubicado al norte de la ciudad con núcleo en el distrito de Comas con un valor de 30,6 t/km²/mes; el segundo, ubicado hacia la zona centro este tiene su núcleo en el distrito de El Agustino con un valor de 17,5 t/km²/mes y el tercero, hacia el cono sur presenta valores comprendidos entre 15-25 t/km²/mes. Sólo en la estrecha franja paralela a la costa y en parte de algunos distritos residenciales, sus valores se mantuvieron por debajo del límite referencial permisible (5 t/km²/mes). De acuerdo al análisis realizado, el 65% de las estaciones superaron los niveles referenciales de la OMS.



Los valores de Ozono troposférico se encuentran por debajo del ECA Nacional de 120 ug/m3 para cada 8 horas (60,1 ppb) aún cuando se obtuvo un máximo valor de 11,3 ppb que representó el 18,8% del ECA. La distribución de las observaciones se asemejan a una distribución estadística log-normal.

Con respecto al análisis de la información meteorológica de los vientos de superficie, durante el día se observaron vientos con intensidades débiles (<2m/s) en la mayor parte de las estaciones, hacia el norte (Comas) como al sur (Surco) de la ciudad las direcciones fueron predominantemente del SW (38%) y W-S (30%), respectivamente. Intensidades fuertes (>6m/s) se presentaron en La Molina con dirección predominante del W (61%). En horas de la noche, se reportaron vientos de intensidad débil (<2m/s) hacia el centro (Jesús María) con direcciones SSW (25%) y este (El Cercado y la Molina) de la ciudad con direcciones W (25%) y ESE (18%), mientras qye intensidades moderadas se presentaron hacia el litoral costero (Jorge Chávez) con direcciones S (59%) y SSE (27%).

Condiciones meteorológicas de cielo nublado a nublado parcial en horas de la mañana y despejado en el resto del día y la persistente presencia del fenómeno de la inversión térmica dificultaron los procesos de dispersión en horas de la mañana, mejorando después del mediodía.